УДК 541.121.536.7

ФИЗИЧЕСКАЯ ХИМИЯ

А. Л. УДОВСКИЙ, Ю. В. ВАМБЕРСКИЙ, О. С. ИВАНОВ

РАСЧЕТ КОНЦЕНТРАЦИОННЫХ ЗАВИСИМОСТЕЙ ИЗБЫТОЧНОЙ ЭНТРОПИИ И ЭНТАЛЬПИИ СМЕШЕНИЯ СИСТЕМЫ U — Мо ПРИ 1100° К

(Представлено академиком Н. В. Агеевым 6 ІХ 1972)

Твердые растворы металлов, как правило, далеки от идеальных. Например, в системах Pb-Tl (¹), Ni-Mn, Cu-Mn (²), $\gamma-U-\beta-Zr$ (³), Sn-Co (¹), $\gamma-U-Mo$ (исследованной авторами) наблюдается смена знака избыточных термодинамических функций. Такие системы наиболее интересны для изучения межатомного взаимодействия в твердых растворах.

В настоящей работе произведен расчет избыточной энтропии и энтальпии смешения в системе U — Мо для 1100° K, результаты расчета сопоставлены с экспериментальными данными и таким образом выявлены некоторые особенности атомного взаимодействия компонентов в этих тверлых растворах.

Неупорядоченный твердый раствор рассматривается, во-первых, как твердое тело, непрерывно изменяющее свои физические свойства во всем диапазоне концентраций и температур существования раствора; во-вторых, как аддитивная система, состоящая из невзаимодействующих подсистем: а) электронов и ионных остовов среднего размера при $T=0^{\circ}$ K; б) фонопов; в) термически возбужденных электронов; г) статических смещений ионных остовов, д) перестановок ионных остовов. Подобное рассмотрение идеальных кристаллов чистых металлов, описываемых с помощью независимых подсистем, применялось в (5 , 6). Выражение для свободной энергии твердого раствора имеет вид

$$F(x, T) = H^{0}(x) + F_{\text{вибр}}(x, T) + F_{\text{эл}}(x, T) + F_{y \text{пр}}(x, T) = TS_{\text{конф}}(x).$$
 (1)

 $H^{0}(x)$ — энергия химической связи атомов кристаллической решетки при 0° К (без учета энергии нулевых колебаний и энергии упругих искажений). Все компоненты свободной энергии соответствуют перечисленным выше независимым подсистемам. Расчет проводился при температуре, большей дебаевской (θ) . Поэтому:

$$F_{
m вибр}\left(x,\,T
ight)=F_{
m вибр}\left[rac{\theta\left(x,\,T
ight)}{T}
ight]\simeq -RT-3RT\lnrac{T}{\theta\left(x,\,T
ight)}+rac{9}{8}R\theta\left(x,\,0
ight).$$
 (2)

Здесь было принято

$$\theta(x, T) = \theta(x, 0) [1 - \alpha_v(x, T) \gamma_{\Gamma}(x) t], \tag{3}$$

где $t = T - \theta(x, 0); \alpha_v(x, T) = 3\alpha_{\pi}(x, T);$

$$\alpha_{\pi}(x,T) = \begin{cases} 0, t \leq 0 \\ \alpha_{\pi}(x), t \geq 0, \end{cases} \tag{4}$$

— линейный коэффициент термического расширения; γ_{Γ} — константа Грюнайзена. Можно показать, что

$$2\alpha_{v}(x, T)\gamma_{r}(x) = \beta(x, T) = -\frac{1}{E(x, T)} \underbrace{E(x, T)}_{\partial T}, \qquad (5)$$

$$F_{\text{ex}}(x, T) = -\gamma(x)T^2/2,$$
 (6)

 $\gamma(x)$ — коэффициент электронной теплоемкости.

В выражении для упругой энергии (в отличие от соответствующего уравнения, приведенного в (7)) учитываются температурные и копцентра-

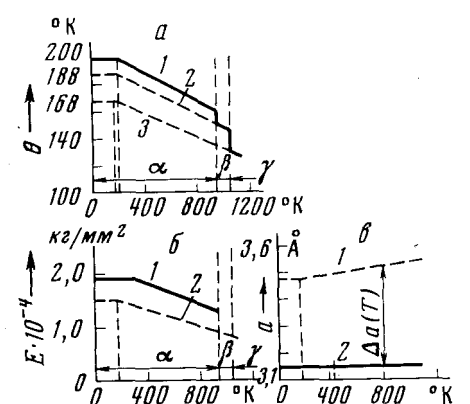


Рис. 1. Температурные зависимости: a — температуры Дебая для α - (1), β - (2) и γ -урана (3); δ — модуля Юнга для α - (1) и γ -урана (2); ϵ — параметра решетки γ -урапа (1) и молибдена (2)

ционные зависимости параметра решетки а и модуля Юнга:

$$F_{y = p.}(x, T) = \varphi d(x, T) [\Delta d(T)]^{2} \cdot E(x, T) x (1-x),$$
 (7)

где $\varphi = 3\pi / 16N_A z$, z — координационное число (для о.ц.к. решетки z = 8 и $2d = \sqrt{3}a$);

$$d(x, T) = d(x, 0) [1 + \alpha_{\pi}(x, T)t], (8)$$

d(x, 0) — кратчайшие расстояния между центрами ионных остовов в кристаллической решетке твердого раствора при $t \leq 0$;

$$\Delta d(T) = d(1, T) - d(0, T);$$
 (9)

$$E(x,T) = E(x,0)[1-\beta(x,T)t].$$
 (10)

Температурные зависимости, соответствующие формулам (3), (10) и

(8), представлены на рис. 1. Значения θ при 0° К и γ для γ -урана (и, как промежуточный этап, для β -урана) были рассчитаны с использованием экспериментальных величин θ при 0° К, γ и T_{\circ} (температура перехода в сверхпроводящее состояние) для α -урапа, скачков энтропии при фазовых

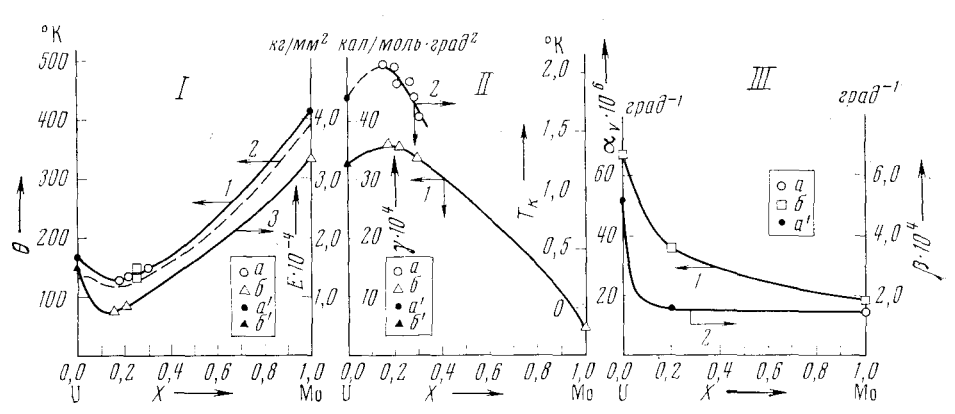


Рис. 2. Концентрационные зависимости: I— температуры Дебая и модуля Юнга: a, b— экспериментальные данные $(^8, ^9)$; a', b'— оценка по экспериментальным данным $(^8, ^{10}, ^{11})$; II— коэффициента электронной теплоемкости и T_c : a, b— экспериментальные данные $(^8, ^{11})$, a'— экстраполировано в $(^{11})$, b'— оценено из экспериментальных данных $(^{8-11})$; III— объемпого коэффициента термического расширения $(^1)$ и температурного коэффициента модуля Юнга $(^2)$, 2 , 3 , 3 , 3 , 3 , 3 , 3 , 3 , 3 , 3 , 3 , 3 , 3 , 3 , 3 , 3 , 3 , 3 , 3 , 3 , 3 , 3 , 3 , 3 , 3 , 3 , 3 , 3 , 3 , 3 , 3 , 3 , 3 , 3 , 3 , 3 , 3 , 3 , 3 , 3 , 3 , 3 , 3 , 3 , 3 , 3 , 3 , 3 , 3 , 3 , 3 , 3 , 3 , 3 , 3 , 3 , 3 , 3 , 3 , 3 , 3 , 3 , 3 , 3 , 3 , 3 , 3 , 3 , 3 , 3 , 3 , 3 , 3 , 3 , 3 , 3 , 3 , 3 , 3 , 3 , 3 , 3 , 3 , 3 , 3 , 3 , 3 , 3 , 3 , 3 , 3 , 3 , 3 , 3 , 3 , 3 , 3 , 3 , 3 , 3 , 3 , 3 , 3 , 3 , 3 , 3 , 3 , 3 , 3 , 3 , 3 , 3 , 3 , 3 , 3 , 3 , 3 , 3 , 3 , 3 , 3 , 3 , 3 , 3 , 3 , 3 , 3 , 3 , 3 , 3 , 3 , 3 , 3 , 3 , 3 , 3 , 3 , 3 , 3 , 3 , 3 , 3 , 3 , 3 , 3 , 3 , 3 , 3 , 3 , 3 , 3 , 3 , 3 , 3 , 3 , 3 , 3 , 3 , 3 , 3 , 3 , 3 , 3 , 3 , 3 , 3 , 3 , 3 , 3 , 3 , 3 , 3 , 3 , 3 , 3 , 3 , 3 , 3 , 3 , 3 , 3 , 3 , 3 , 3 , 3 , 3 , 3 , 3 , 3 , 3 , 3 , 3 , 3 , 3 , 3 , 3 , 3 , 3 , 3 , 3 , 3 , 3 , 3 , 3 , 3 , 3 , 3 , 3 , 3 , 3 , 3 , 3 , 3 , 3 , 3 , 3 , 3 , 3 , 3 , 3 , 3 , 3 , 3 , 3 , 3 , 3 , 3 , 3 , 3 , 3 , 3 , 3 , 3 , 3 , 3 , 3 , 3 , 3 , 3 , 3 , 3 , 3 , 3 , 3 , 3 , 3 , 3 , 3 , 3 , 3 , 3 , 3 , 3 , 3 , 3 , 3 , 3 , 3 ,

иереходах $\alpha \to \beta$ и $\beta \to \gamma$, а также экстраполированного значения T_c для γ -урана. На рис. 2 приведены концентрационные зависимости $\theta(x,0)$, E(x,0), $\gamma(x)$, $\alpha_v(x)$ и $\beta(x)$. Из определения избыточной энтропии и (1)-(10) следует:

$$S^{\text{n36}}(x, T) = S_{\text{вибр}}(x, T) + S_{\text{эп}}(x, T) + S_{\text{упр}}(x, T), \tag{11}$$

$$S_{\text{вибр}}(x,T) = -\left[\frac{\partial F_{\text{вибр}}}{\partial T} + \frac{\partial F_{\text{вибр}}}{\partial \theta} \frac{\partial \theta}{\partial T}\right] = S_{\text{D}}\left[\frac{\theta(x,T)}{T}\right] + 3R\frac{\frac{1}{2}\beta(x)T}{1 - \frac{1}{2}\beta(x)t},$$
(12)

 $S_{\rm D}[\theta(x, T) / T]$ — энтропия в дебаевском приближении;

$$S_{\text{ex}}(x, T) = \gamma(x)T; \tag{13}$$

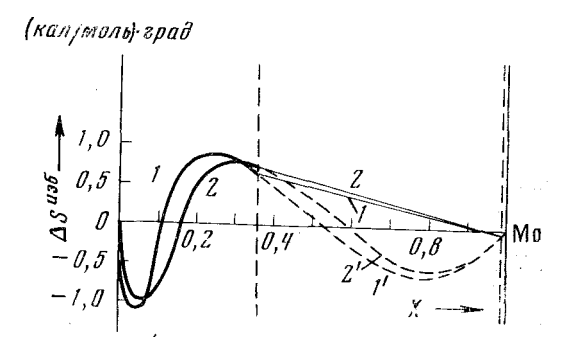
$$S_{\text{ymp}}(x,T) = {}^{-}F_{\text{ymp}}(x,T) \left[\frac{\partial \ln d(x,T)}{\partial T} + 2 \frac{\partial \ln \Delta d(T)}{\partial T} + \frac{\partial \ln E(x,T)}{\partial T} \right]. \quad (14)$$

Следовательно, избыточная энтропия смешения равна

$$\Delta S^{\text{n36}}(x, T) = S^{\text{n36}}(x, T) - [(1 - x)S(0, T) + xS(1, T)]. \tag{15}$$

Результаты расчета по формулам (11) — (15) сопоставлены с экспериментальной зависимостью избыточной энтропии смешения на рис. 3.

Рис. 3. Сопоставление избыточной энтропии смешения рассчитанной (1) и экспериментальной (2). Вертикальные пунктирные линии указывают фазовые границы дмаграммы состояния (15)



Из определения функции Планка энтальния равна

$$H = \partial \left(\frac{F}{T}\right) / \partial \left(\frac{1}{T}\right), \tag{16}$$

так как эксперимент ведется при P и $T={
m const}$ и незначительным отклонением параметра решетки от закона Вегарда пренебрегаем.

Из (1) — (10) и (16) следует:

$$H(x, T) = H^{0}(x) + H_{\text{BHOD}}(x, T) + H_{\text{SH}}(x, T) + H_{\text{YHD}}(x, T), \tag{17}$$

$$H_{\rm BH\delta p}(x, T) = \frac{9}{8} R\theta(x, 0) + H_{\rm D} \left[\frac{\theta(x, T)}{T} \right] + 3R \frac{1/2\beta(x) T^2}{1 - 1/2\beta(x)t}, \quad (18)$$

 $H_{D}(\theta(x,T) \ / \ T) \ -$ энтальния в дебаевском приближении;

$$H_{\text{out}}(x, T) = \gamma(x)T^2/2;$$
 (19)

$$H_{\text{ymp}}(x,T) = -TF_{\text{ymp}}(x,T) \left[+ \frac{\partial \ln d(x,T)}{\partial T} + 2 \frac{\partial \ln \Delta d(T)}{\partial T} \right] + F_{\text{ymp}}(x,0) \left[1 + \beta(x) \theta(x,0) \right] \left[1 + \alpha_{\text{a}}(x) t \right] \left[\frac{\Delta d(T)}{\Delta d(0)} \right]^{2}.$$
 (20)

Исключая компоненту $\Delta H^{0}(x)$, величину которой в настоящее время рассчитать не представляется возможным, из (17) и определения энталь-

$$\Delta H^*(x, T) = \Delta H(x, T) - \Delta H^0(x) =$$

$$= \Delta H_{\text{BHOp}}(x, T) + \Delta H_{\text{ph}}(x, T) + \Delta H_{\text{ynp}}(x, T). \tag{21}$$

Результаты расчета по формулам (18)— (21) сопоставлены с экспериментальной зависимостью энтальпии смешения на рис. 4.

Как видно из рис. З и 4, предложенная физическая концепция твердого раствора позволила рассчитать в хорошем качественном (и даже коли-

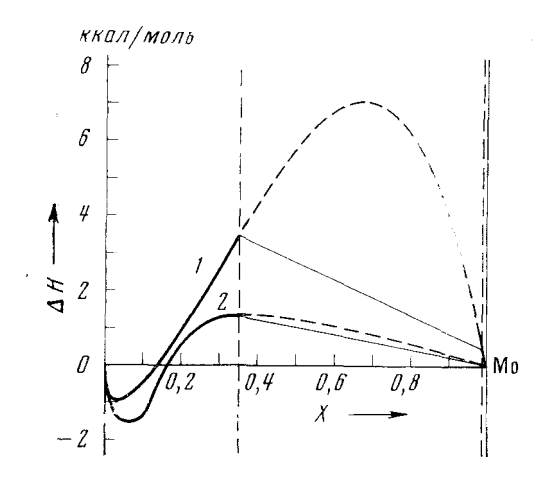


Рис. 4. Сопоставление энтальнии смешения рассчитанной ΔH^* (1) и экспериментальной (2)

чественном для энтропии) соответствии с экспериментом зависимости от состава избыточных энтропии и эптальпии смешенерегулярного RUIL твердого Форма раствора. кривой 1рис. З обусловлена концентрационными зависимостями при $x \leq 0.3$ $S_{\text{вибр}}$ и $S_{\text{эл}}$ (первая смепа знака $\Delta S^{\text{изб}}$ (x; 1100). как $\Delta S_{\text{вибр}}$ (x; 1100) знак), а при $x > 0.5 - S_{\text{эл}}$ и (вторая смена $\Delta S^{\scriptscriptstyle ext{M36}}\left(x;\;1100
ight),$ так как $\Delta S_{\scriptscriptstyle ext{0.7}}$ $(x; 1100) \ge 0$ для $\forall x \in [0; 1],$ $\Delta S_{\rm ynp}$ (x; 1100) < 0 для $\nabla x \in$ $\in (0; 1)$.

Смена знака ΔH^* (x; 1100) (кривая I рис. 4) определяется в основном $\Delta H_{\text{вибр}}$ (x; 1100) и

 $\Delta H_{\text{упр}}(x; 1100)$, так как $\Delta H_{\text{вибр}}(x; 1100) < 0$ для $\forall x \in (0; 1)$, а $\Delta H_{\text{упр}}(x; 1100) > 0$ для $\forall x \in (0; 1)$.

Отрицательный знак упругой компоненты эптропии свидетельствует о возрастании эпергии упругих искажений с ростом температуры. Физическая причина этого явления в том, что с ростом температуры увеличение разности параметров решеток ү-урана и молибдена (рис. 1в) превалирует над уменьшением модуля Юнга твердого раствора — формула (7).

Существенно, что расчет был проведен без использования какой-либо экспериментальной точки из термодинамических данных как для избыточной энтропии, так и для энтальнии смешения твердого раствора.

Инститит металлургии им. А. А. Байкова Академии наук СССР Москва Поступило 6 IX 1972

ПИТИРОВАННАЯ ЛИТЕРАТУРА

¹ Дж. Ламсден, Термодинамика сплавов, М., 1959. ² В. Н. Еременко, Г. М. Лукашенко, В. Р. Сидорко, ЖФХ, 42, № 3, 652 (1968). ³ Г. Б. Федоров, Е. А. Смирнов, Атомная энергия, 21, в. 3, 189 (1966). ⁴ Г. Weibke, О. Кивазсћеwski, Thermochemic der Legierungen, Ber in, 1943. ⁵ Л. Д. Ландау, Е. М. Лившиц, Статистическая физика, Изд. 2-е, М., 1964. ⁶ К. J. Weiss, К. J. Таиег, Phys. Rev., 102, № 6, 1490 (1956). ⁷ А. Г. Лесник, Модели межатомного взаимодействия в статистической теории сплавов, М., 1962, стр. 52. ⁸ В. В. Goodman, J. Hillaret et al., С. К., 250, № 3—4, 542 (1960). ⁹ Ю. Н. Сокурский, Я. М. Стерлип, В. А. Федорченко, Уран и его сплавы, М., 1971. ¹⁰ А. Н. Холден, Физическое металловедение урана, М., 1962. ¹¹ В. S. Сhandrasckar, J. К. Ниlт J. Phys. Chem. Solid., 7, 259 (1958). ¹² Т. Титц, Дж. Уилсон, Тугоплавкие металлы и сплавы, М., 1969, стр. 143. ¹³ Г. В. Самсонов, В. Г. Гребепкина, В. С. Клименко, Порошковая металлургия, № 8, 61 (1971). ¹⁴ М. Farkas, Е. Еldridge, J. Nucl. Маt., 27, № 1, 94 (1968). ¹⁵ О. С. Иванов, А. Т. Семенченков, Н. И. Козлова, Строепие сплавов некоторых систем с ураном и торием, М., 1961, стр. 68.